

資源制約を持つ拡張インプリサイスタスクの実時間スケジューリング

小林 秀典[†] 山崎 信行[†]

インプリサイス計算モデルに基づくインプリサイスタスクは、その実行に十分な時間が割り当てられない場合でも、デッドラインまでに品質の低い結果を生成することができる。しかし、インプリサイスタスクの実行は任意の時点で中断される可能性があるため、共有資源へアクセスすることができないという欠点がある。本論文では、資源の最大占有時間が既知である環境において、インプリサイスタスクが共有資源へアクセス可能なスケジューリングアルゴリズムを提案する。本アルゴリズムは、システムに存在するスラックのプロセッサバンド幅をオフラインで算出し、スケジュール可能性を判断する。オンラインでは、付加部分に割当て可能な時間を動的に算出することで、実際に要求された資源アクセスが完了できることを確認する。提案したアルゴリズムを実時間オペレーティングシステム RT-Frontier に実装し、実用性を評価する。また、資源制約を持つインプリサイスタスクを用いた検証実験を行うことで、実時間性を満たした資源アクセスが可能であることを示す。

Real-time Scheduling of Extended Imprecise Tasks with Resource Constraints

HIDENORI KOBAYASHI[†] and NOBUYUKI YAMASAKI[†]

The imprecise tasks, based on the imprecise computation model, can produce lower quality of result even when there is not enough time. However, the imprecise tasks cannot share resources, because they allow termination at any point in their optional parts. This paper proposes a scheduling algorithm that enables the imprecise tasks to share resources in systems where the maximum access duration of every resource is known. The offline part of this algorithm calculates the processor bandwidth of slack and checks the schedulability of the given task set. The online part schedules tasks in deadline order and calculates the remaining time for optional parts in order to verify whether requested accesses can be completed. We implement this algorithm on the RT-Frontier operating system to assess its practicability. Moreover, we conduct experiments using imprecise tasks with resource constraints to confirm that resources can be accessed without causing any timing violation.

1. はじめに

動的な実時間システムには、実行時間が大きく変動する処理が存在する²⁴⁾。そのため、つねに最悪実行時間を用いて実時間性を保証しようとするれば、プロセッサの利用率が低下してしまう。我々はインプリサイス計算モデル¹⁷⁾を用いてこの問題を解決する。

本論文で扱うインプリサイス計算モデルは、必須部分 (mandatory part) と付加部分 (optional part) を持つものとし、このインプリサイス計算モデルに基づくタスクをインプリサイスタスクと呼ぶ。必須部分は許容最低限の品質を持つ結果を生成し、付加部分は必

須部分が生成した結果の品質を向上させる。また、付加部分は最終的な結果の論理的な正しさに影響を与えてはならないとする。

インプリサイス計算モデルを用いる場合、必須部分の実時間性を事前に保証しておけば、過負荷状態に陥ったとしても、付加部分を中断することでデッドラインミスを避けることが可能である。そこで、システム設計者は、必須部分に対してのみ最悪実行時間を用いることで、プロセッサ利用率を向上させることができる。一方、プログラマには、付加部分がどの時点で中断されるかが不明であるため、付加部分において中断不可能な資源アクセスを行うことはできないという問題がある。

本論文では、インプリサイスタスクが付加部分において共有資源へアクセス可能な Slack Stealer for Op-

[†] 慶應義塾大学大学院

Graduate School of Keio University

tional Parts with Shared Resources (SS-OP-SR) アルゴリズムを提案する。

2. 拡張インプリサイス計算モデルと資源制約問題

2.1 拡張インプリサイス計算モデル

本研究では、従来のインプリサイス計算モデル¹⁷⁾に対し、図1に示す終端部分を追加した拡張インプリサイス計算モデル¹³⁾を用いる。

従来のインプリサイス計算モデル¹⁷⁾は、付加部分を中断する際に補完的な処理がまったく必要ないことを仮定している。また、従来のインプリサイス計算モデルのスケジューリングに関する研究^{4),5),21)}も、この仮定を設けている。しかし、任意の時点で中断可能な Anytime Algorithm^{8),9)} を利用する場合でも、実際には中断の際に何らかの補完的な処理が必要である。

たとえば、センサデータの処理結果を出力するタスクは、付加部分の中断後に最終的な結果を他のタスクに提供するための処理を必要とする。しかし、従来のインプリサイス計算モデルに基づくタスクでは、付加部分の中断後にいかなる処理も実行することはできない。そのため、下位レイヤのソフトウェアによる支援が必要である。

ところが、下位レイヤのソフトウェアはアプリケーションに関する詳細な情報を持たないことが多い。そこで、チェックポイント機構^{11),25)}が多く利用されている。しかし、チェックポイントごとのオーバーヘッドが大きい場合、システム全体のパフォーマンスが低下することが知られている²⁰⁾。

この問題を解決するために、拡張インプリサイス計算モデルは終端部分を持つ。終端部分は付加部分の後に実行可能になる。ただし、その実行は中断してはならないという制約がある。そのため、下位レイヤの支援がなくても、タスクが終端部分において、計算結果を直接他のタスクに提供することが可能である。

2.2 本論文で扱う課題

本論文では、拡張インプリサイス計算モデルに基づく拡張インプリサイスタスクの資源制約問題を扱う。拡張インプリサイスタスクには、従来のインプリサイスタスクと同様、資源のアクセス中に付加部分が中断される可能性がある。

資源アクセスが中断された場合、共有データの整合性が失われる可能性がある。さらに、中断によりロックが解放されなくなった場合には、デッドロックが生じる可能性がある。付加部分の中断後にこれらの事態に対処するためには、アクセスが中断された場所を特

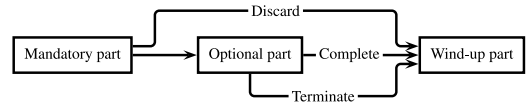


図1 終端部分を有する拡張インプリサイス計算モデル
Fig. 1 Extended imprecise computation with wind-up part model.

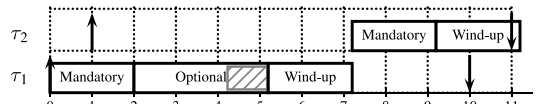


図2 資源アクセスにより生じるデッドラインミスの例
Fig. 2 An example of deadline miss caused by accessing a resource.

定しなければならない。しかし、そのためにアクセスログを生成することは効率的とはいえない。

また、ハードウェアデバイスなどの物理的な資源に対するアクセスは中断できないことが多い。このとき、デッドラインミスが生じる例を図2に示す。上向きの矢印はリリースタイムを表し、下向きの矢印はデッドラインを表す。タスク τ_1 , τ_2 はどちらも、必須部分と終端部分を合わせて4の時間を要求するとする。また、スケジューラは、タスク τ_1 の実行を優先するとする。このとき、タスク τ_1 の付加部分が3を超える時間を要求するとすると、両方のデッドラインを満たすためには、時刻5においてこの付加部分を中断しなければならない。しかし、図2に斜線で表した時間において、タスク τ_1 が中断不可能な資源アクセスを行っていた場合、タスク τ_1 の付加部分は時刻5よりも遅い時刻に中断されることになり、タスク τ_2 の実行がデッドラインミスを起こす。

以上の問題は、資源アクセスの途中で付加部分を中断しなければならなくなったことが原因である。そこで、本研究では資源アクセスを中断しなければならない事態そのものを回避することを目標とする。

2.3 関連研究

実時間システムにおける資源制約を扱うプロトコルとしては、Stack Resource Policy (SRP) 方式²⁾、Priority Inheritance 方式、Dynamic Priority Ceiling 方式など²³⁾が知られている。しかし、これらの方式は、古典的なタスクモデル¹⁸⁾のブロック時間を予測可能にすることを目的としており、中断を許す拡張インプリサイス計算モデルに対してそのまま適用することはできない。

実時間データベースを対象とした研究には、トランザクションの破棄が可能であることを前提とする手法が存在する^{10),16),22)}。しかし、物理的な資源に対する

アクセスを実際に中断することは困難である．

一方、資源アクセスの中断を回避可能な手法は動的な負荷に対する柔軟性に問題がある．MARS¹⁵⁾では資源を静的に割り当てる必要がある．Spring¹²⁾では、資源アクセスの動的なプランニングを行う際に、タスクの正確な実行時間を必要とする．また、Optional Computation Window を求める方式³⁾では、2つ以上のタスクが付加部分を持つことはできない．さらに、OPT-LU アルゴリズム¹⁾では、付加部分の実行時間に関する上限値が既知であることを仮定しているうえに、結果の品質がステップ関数に従って向上する場合には使用できないという制限がある．

我々は拡張インプリサイス計算モデルを対象として、M-FWP アルゴリズム¹³⁾ および SS-OP アルゴリズム¹⁴⁾を開発した．しかし、これらのスケジューリングアルゴリズムは、終端部分の時間制約を効率的に保証することを目的としており、資源制約を扱うことができないので、本論文において資源の共有を可能にするスケジューリングアルゴリズムを提案する．

3. システムに関する仮定および諸定義

表 1 に本論文で使用する記号の定義を示す．

システムには 1 つのプロセッサおよび K 種類の共有資源とそれらに排他的にアクセスを要求する L 個の周期タスクが存在すると仮定する．ただし、タスクは特定の機能を実現する概念上の仕事であり、拡張インプリサイス計算モデルに基づくものであるとする．

タスクの論理的な実行をジョブと呼ぶ．たとえば、同じ仕事を 2 つの異なる時刻に実行した場合、タスクは 1 つであるがジョブは 2 つ存在したことになる．また、スケジューリングおよび時間の割当ての対象となるのはジョブである．さらに、スケジューラが実際にプロセッサをジョブに割り当てることをジョブを実行するという．

すべてのタスクに関して、ジョブの到着周期、相対デッドライン、必須部分および終端部分の最悪実行時間、資源の最大占有時間を既知の属性であるとする．一方、ジョブ J_{ij} はタスク τ_i の属性に加えて、リリースタイムと（絶対）デッドラインを属性として持つとする．

ブロック時間の静的な解析を可能にするために、タスクにプリエンブションレベル²⁾を付与する．プリエンブションレベルは、ジョブがプリエンブションを起こすための資格を表す静的な指標である．任意のジョブは自らのプリエンブションレベルよりも低いプリエンブションレベルを持つジョブのみをプリエンブトす

表 1 記号の定義

Table 1 Definition of symbols.

記号	定義
t_c	システム時刻
τ_i	周期タスク ($i = 1, 2, \dots, L$)
Z_i	資源 ($i = 1, 2, \dots, K$)
U_S	システムに存在するスラックのプロセッサバンド幅
u_E	システム負荷の期待値
u_M	必須部分と終端部分のみによるシステム負荷の最低値
T_i	タスク τ_i のジョブの到着周期
D_i	タスク τ_i の相対デッドライン
m_i	タスク τ_i の必須部分の最悪実行時間
o_i	タスク τ_i の付加部分の最悪実行時間の期待値
w_i	タスク τ_i の終端部分の最悪実行時間
b_i	タスク τ_i が付加部分において要求する資源の最大占有時間
π_i	タスク τ_i のプリエンブションレベル
$\mu_i(\tau_j)$	資源 Z_i のタスク τ_j により要求される最大ユニット数
$\Delta_i(\tau_j)$	資源 Z_i のタスク τ_j による最大占有時間
J_{ij}	タスク τ_i の j 番目のジョブ ($j = 1, 2, \dots$)
r_{ij}	ジョブ J_{ij} のリリースタイム
d_{ij}	ジョブ J_{ij} の（絶対）デッドライン
o_{ij}	ジョブ J_{ij} が実際に付加部分を終了するのに必要な時間
$R_i(t)$	時刻 t でシステムに存在するジョブ J_{ij} に割り当てられている時間 ($S_i(t)$ を含む)
$S_i(t)$	時刻 t でシステムに存在するジョブ J_{ij} に割り当てられているスラック
J_{ij}^p	ジョブ J_{ij} よりも高い優先度を持つジョブの中で最も低い優先度を持つジョブ
d_{ij}^p	ジョブ J_{ij}^p のデッドライン
J_{ij}^n	ジョブ J_{ij} よりも低い優先度を持つジョブの中で最も高い優先度を持つジョブ
d_{ij}^n	ジョブ J_{ij}^n の（絶対）デッドライン
$R_i^n(t)$	時刻 t でシステムに存在するジョブ J_{ij}^n に割り当てられている時間
$S_i^n(t)$	時刻 t でシステムに存在するジョブ J_{ij}^n に割り当てられているスラック
$\Gamma_E(t)$	時刻 t において実行可能なジョブの集合
$\Gamma_S(t)$	$\Gamma_E(t)$ のうち付加部分を実行すべきジョブの集合
$\nu_i(t)$	時刻 t における資源 Z_i の占有されていないユニット数
$C_i(a)$	資源 Z_i の占有されていないユニット数が a である場合のリソースシーリング
B_i	SRP 方式を用いた場合にタスク τ_i がブロックされる最大時間
$\Pi(t)$	時刻 t におけるシステムシーリング

ることが可能である．本論文では特に、 $D_i > D_j$ ならば $\pi_i < \pi_j$ を満たす値をプリエンブションレベルとして用いる．

タスクの付加部分の実行時間は未知であり、ジョブごとに固有の値であるとする．このとき、システムの負荷は時間とともに変動するので、評価の際の指標として、システム負荷の期待値 u_E を式 (1) により定義する．

$$u_E = \sum_{i=1}^L \frac{m_i + o_i + w_i}{T_i} \quad (1)$$

また、同じく評価の際の指標として、必須部分と終端部分のみによるシステム負荷の最低値 u_M を式 (2) により定義する。

$$u_M = \sum_{i=1}^L \frac{m_i + w_i}{T_i} \quad (2)$$

タスク τ_i の実行時間が m_i, b_i, w_i の和であると仮定したうえで、区間 $[t_1, t_2)$ において任意のジョブの実行を δ だけ遅らせてもデッドラインミスを生じないとき、区間 $[t_1, t_2)$ には δ だけのスラックが存在すると定義する。また、この区間におけるスラックのプロセッサバンド幅を $\delta/(t_2 - t_1)$ により求めるとする。さらに、あらゆる区間におけるスラックのプロセッサバンド幅の最小値を、システムに存在するスラックのプロセッサバンド幅 U_S と定義する。よって、 $U_S \geq 0$ のとき、任意の区間 $[t_1, t_2)$ には必ず $(t_2 - t_1)U_S$ 以上のスラックが存在する。

本論文では、説明を簡潔にするために、ジョブはスケジューラにより明示的に削除されない限り、実行完了後もそのデッドラインまでシステムに存在すると仮定する。また、ジョブはスケジューラが割り当てた時間をその実行により消費するとし、この割り当てられている時間の残量 $R_i(t)$ が付加部分の実行中に w_i 以下になることをオーバーランと呼ぶ。さらに、オーバーランしたジョブが付加部分の実行を継続している状態をオーバーラン状態と呼ぶ。

次に、資源は横取り不能であり、等価な資源が複数存在する場合には 1 つの資源が複数ユニット存在すると見なす。また、ブロック時間の解析を容易にするために、ある資源アクセスが別の資源アクセスを内包する場合、資源の解放は獲得と逆順に行われるとし、各資源の占有時間は内包する資源の占有時間を含むとする。この仮定の下では、たとえば、資源 Z_1 を獲得しているジョブがさらに資源 Z_2 を獲得した場合、資源 Z_2 を資源 Z_1 よりも先に解放しなければならない。また、資源 Z_1 への競合による最大ブロック時間を解析する際には、資源 Z_1 の占有時間が資源 Z_2 の占有時間を含むので、資源 Z_2 の占有時間を考慮する必要がない。

資源 Z_i のリソースシーリングおよびシステムシーリングを、Baker²⁾ と同様に、それぞれ式 (3) および式 (4) と定義する。

$$C_i(a) = \max\{\{0\} \cup \{\pi_j | a < \mu_i(\tau_j), 1 \leq j \leq L\}\} \quad (3)$$

$$\Pi(t) = \max\{C_i(\nu_i(t)) | 1 \leq i \leq K\} \quad (4)$$

ここで、資源 Z_i のリソースシーリングは、資源 Z_i を要求することでブロックされる可能性のあるすべてのジョブのプリエンブションレベルの最大値である。したがって、リソースシーリングは資源の利用可能なユニット数の関数である。また、全ユニットが利用可能である場合のリソースシーリングは 0 であると考えられる。さらに、全リソースシーリングの最大値をシステムシーリングとする。このとき、SRP 方式においてタスク τ_i がブロックされる最大時間 B_i は式 (5) により定義される。

$$B_i = \max\{\{0\} \cup \{\Delta_k(\tau_j) | \pi_j < \pi_i, C_k(0) \geq \pi_i, 1 \leq j \leq L, 1 \leq k \leq K\}\} \quad (5)$$

4. SS-OP-SR アルゴリズム

実時間システムにおいて、プロセッサの利用率を向上させるためには、デッドラインを指標としたオンラインスケジューリングを行うことが望ましい。また、開始時刻が予測できない資源アクセスが存在する場合、オンラインで資源アクセスを制御する必要がある。SS-OP-SR アルゴリズムでは、オンラインで付加部分に割当て可能な時間を、スラックのプロセッサバンド幅 U_S を基に算出する。ここで、仮定より、システムに存在するスラックのプロセッサバンド幅は動的に変動しない。また、相対デッドラインが周期より短い場合、スラックのプロセッサバンド幅の算出には、準多項式 (pseudo-polynomial) オーダの計算量が必要であり²³⁾、これをオンラインで行うのは困難である。そのため、SS-OP-SR アルゴリズムでは、オフラインでスラックのプロセッサバンド幅を算出し、オンラインで実際のスラックの割当ておよびスケジューリングを行う。

1 つのスケジューリングアルゴリズムをオフラインアルゴリズムとオンラインアルゴリズムから構成することは、利便性を低下させる可能性があるが、この構成により、オンラインでのスラックの割当てに必要な計算量を $O(1)$ に抑えることができる。このとき、ジョブの管理に選択木⁷⁾を用いることで、オンラインアルゴリズムの計算量を $O(\lceil \log_2 L \rceil)$ に抑えることができる。また、組み込みシステムでは、オフラインアルゴリズムをターゲット上に実装する必要はないため、オンラインアルゴリズムのみにより構成する場合と比べて、使用するメモリ量を小さくできるという利点もある。

Procedure SlackBw:

```

i < j ならば  $\pi_i \geq \pi_j$  とする;
 $c_i = m_i + b_i + w_i$ ;
 $\lambda_i(\ell) = 1 + \lfloor \frac{\ell - D_i}{T_i} \rfloor$ ;
 $\sigma_i(\ell) = \sum_{k=1}^i \lambda_k(\ell) c_k + \lambda_i(\ell) B_i$ ;
 $\zeta = \max \left\{ D_L, \frac{\sum_{i=1}^L (1 - \frac{D_i}{T_i}) c_i}{1 - U} \right\}$ ;
 $\Omega_i = \left\{ mT_i + D_i \mid m = 0, 1, \dots, \lfloor \frac{\zeta - D_i}{T_i} \rfloor \right\}$ ;
 $U = \sum_{i=1}^L \frac{c_i}{T_i}$ 
if  $U \geq 1$  then
   $U_S := 1 - U$ ;
else
   $U_S := \min \left\{ \frac{\ell - \sigma_i(\ell)}{T_i} \mid \ell \in \Omega_i, 1 \leq i \leq L \right\}$ ;
endif

```

図 3 SlackBw 手続きの疑似コード

Fig. 3 Procedure SlackBw in pseudo-code.

SS-OP-SR アルゴリズムでは、資源アクセスによるデッドロックを回避し、ジョブごとに 2 つ以上の優先度逆転を生じさせないために、SRP 方式におけるプリエンプションの制御規則を利用する。よって、最も早いデッドラインを持つタスクのプリエンプションレベルがシステムシーリングよりも高い場合のみ、プリエンプションを許可する。さらに、SS-OP-SR アルゴリズムでは、資源の要求時にアクセス制御を行うことにより資源アクセスの完全性を保証する。このとき、ジョブのブロック時間を 1 つの競合する資源の占有時間に抑えることができ、その最大値は SRP 方式における最大ブロック時間 B_i と同一になる。本論文ではこの証明を 4.4 節に示す。

4.1 オフラインアルゴリズム

システムに存在するスラックのプロセッサバンド幅を求め、スケジューリング可能性を判断するために、オフラインアルゴリズムを規則 1 により定義する。

規則 1 図 3 に示す SlackBw 手続きによりスラックのプロセッサバンド幅 U_S を算出する。この結果、 $U_S > 0$ である場合のみ、与えられたタスクセットを受諾する。

SlackBw 手続きでは、 U_S を算出するために、 m_i , b_i , w_i の和として得られる時間 c_i をタスク τ_i に対して予約し、SRP 方式における最大ブロック時間 B_i を含んだプロセッサ要求量 $\sigma_i(\ell)$ を解析する。SS-OP-SR アルゴリズムでは、SRP 方式と同様にプリエンプションレベルを基にしたプリエンプション制御を行うので、ジョブの最大ブロック時間は SRP 方式における最大ブロック時間 B_i と等しい。そこで、SlackBw 手続きでは、資源の競合による最大ブロック時間として SRP 方式の最大ブロック時間 B_i を用いる。また、プロセッサ要求量の解析区間の上限の算出は Zheng ら

の方法²⁶⁾ による。

この解析の結果、 $U_S \leq 0$ である場合には、SS-OP-SR アルゴリズムは実時間性を保証することができないので、与えられたタスクセットを受諾しない。ただし、 U_S はあらゆる区間におけるスラックのプロセッサバンド幅の最小値であるので、 $U_S \leq 0$ であっても、区間によっては SS-OP-SR アルゴリズムで利用できないスラックが存在することがある。また、資源アクセスの完全性を保証するために、SlackBw 手続きは付加部分の実行時間を資源の最大占有時間と等しいと仮定して U_S を算出するので、受諾しないタスクセットにもスケジューリング可能なものが含まれることがある。すなわち、 $U_S \leq 0$ であっても、タスク τ_i の付加部分を b_i よりも短い時間しか実行しなければスケジューリング可能な場合がある。しかし、このとき、付加部分における資源アクセスが割当て可能な時間内に完了することを保証できないので、オーバランによるデッドラインミスが生じる可能性がある。そのため、SS-OP-SR アルゴリズムは $U_S \leq 0$ となるタスクセットを受諾しない。

4.2 オンラインアルゴリズム

ジョブをスケジューリングし、スラックとオフラインで予約した時間を割り当てるために、オンラインアルゴリズムを規則 2 から規則 6 により定義する。

規則 2 任意の 2 つのジョブ J_{ij} , J_{kl} の優先度は以下の手順により決定する。

- (2-1) $d_{ij} < d_{kl}$ ならば、ジョブ J_{ij} にジョブ J_{kl} より高い優先度を与える。
- (2-2) $d_{ij} = d_{kl}$ かつ $D_i < D_k$ ならば、ジョブ J_{ij} にジョブ J_{kl} より高い優先度を与える。
- (2-3) $d_{ij} = d_{kl}$ かつ $D_i = D_k$ であり、さらに $i < k$ である場合には、ジョブ J_{ij} にジョブ J_{kl} より高い優先度を与える。

規則 3 ジョブ J_{ij} がシステムに到着したとき、以下の手順を行う。

- (3-1) 図 4 に示す AllocTime 手続きを実行し、ジョブ J_{ij} に対しオフラインで予約した時間およびスラックを割り当てる。
- (3-2) 図 5 に示す ChkPreempt 手続きにより、実行するジョブを選択する。

規則 4 ジョブ J_{ij} を 1 単位時間だけ実行したとき、 $R_i(t)$ を 1 単位時間減少させる。さらに、ジョブ J_{ij} がこの実行中に $\Gamma_S(t)$ に属し、 $S_i(t) > 0$ であったならば、同時に $S_i(t)$ を 1 単位時間減少させる。

規則 5 実行中のジョブ J_{ij} がオーバランしたとき、その付加部分を中断し、終端部分を開始する。

Procedure AllocTime(J_{ij}):

```

 $\varepsilon$  はローカル変数;
 $\varepsilon := r_{ij}$ ;
if  $\exists J_{ij}^p$  then
     $\varepsilon := \max \{ \varepsilon, d_{ij}^p \}$ ;
endif
if  $\exists J_{ij}^n$  then
     $\varepsilon := \max \left\{ \varepsilon, d_{ij}^n - \frac{S_i^n(t_c)}{U_S} \right\}$ ;
endif
 $S_i(t_c) := \max\{0, d_{ij} - \varepsilon\}U_S$ ;
 $R_i(t_c) := m_i + b_i + w_i + S_i(t_c)$ ;
if  $\exists J_{ij}^n$  then
     $R_i^n(t_c) := R_i^n(t_c) - S_i(t_c)$ ;
     $S_i^n(t_c) := S_i^n(t_c) - S_i(t_c)$ ;
endif

```

図 4 AllocTime 手続きの疑似コード

Fig. 4 Procedure AllocTime in pseudo-code.

Procedure ChkPreempt(J_{ij}):

```

実行中のジョブを  $J_{kl}$  とする;
 $\Gamma_E(t_c)$  で最も優先度の高いジョブを  $J_{mn}$  とする;
if  $J_{ij} = J_{mn}$  and  $\pi_i > \Pi(t_c)$  then
    ジョブ  $J_{ij}$  の実行を開始;
else
    ジョブ  $J_{kl}$  の実行を継続;
endif

```

図 5 ChkPreempt 手続きの疑似コード

Fig. 5 Procedure ChkPreempt in pseudo-code.

Procedure Reclaim(J_{ij}):

```

 $\varphi$  はローカル変数;
if  $\exists J_{ij}^n$  then
     $R_i^n(t_c) := R_i^n(t_c) + R_i(t_c)$ ;
     $S_i^n(t_c) := S_i^n(t_c) + R_i(t_c)$ ;
endif
 $\varphi := d_{ij} - \frac{R_i(t_c)}{U_S}$ ;
if  $\varphi \leq t_c$  then
    ジョブ  $J_{ij}$  をシステムから削除;
else
     $d_{ij} := \varphi$ ;
endif
 $R_i(t_c) := 0$ ;
 $S_i(t_c) := 0$ ;

```

図 6 Reclaim 手続きの疑似コード

Fig. 6 Procedure Reclaim in pseudo-code.

規則 6 実行中のジョブ J_{ij} が終了したとき、以下の手順を行う。

(6-1) 図 6 に示す Reclaim 手続きを実行する。

(6-2) 図 7 に示す SltResume 手続きにより、次に実行するジョブを選択する。

上記の規則の動作をジョブの実行順序の決定とスラックの管理の観点から以下に示す。

(1) 実行順序の決定

ジョブの実行順序はブロック時間に影響を与える。また、動的にジョブをスケジューリングする場合、計算

Procedure SltResume(J_{ij}):

```

 $\Gamma_E(t_c)$  で最も遅くに実行したジョブを  $J_{kl}$  とする;
 $\Gamma_E(t_c)$  で最も優先度の高いジョブを  $J_{mn}$  とする;
if  $\Gamma_E(t_c) \neq \emptyset$  then
    if  $\pi_m > \Pi(t_c)$  then
        ジョブ  $J_{mn}$  の実行を開始;
    else
        ジョブ  $J_{kl}$  の実行を再開;
    endif
endif

```

図 7 SltResume 手続きの疑似コード

Fig. 7 Procedure SltResume in pseudo-code.

量の問題から優先度逆転をすべて排除することは難しい。したがって、ジョブごとに 2 つ以上の優先度逆転が生じないことを保証する SRP 方式が、現実的には資源制約によるブロック時間を最も短くすることができる。そこで、最大ブロック時間を SRP 方式と同一に抑えるために、プリエンブションレベルと規則 2 により定まる優先度を用いてプリエンブションの是非を判断し、実行順序を決定する。

規則 3 の ChkPreempt 手続きでは、システムに到着したジョブ J_{ij} によるプリエンブションの是非を判断する。同手続きは、ジョブ J_{ij} の優先度が実行可能なジョブの中で最も高く、そのプリエンブションレベル π_i がシステムシーリング $\Pi(t_c)$ よりも高い場合のみ、ジョブ J_{ij} の実行を新たに開始する。

規則 6 の SltResume 手続きでも同様に、最高優先度のジョブ J_{mn} のプリエンブションレベル π_m がシステムシーリング $\Pi(t_c)$ よりも高い場合のみ、ジョブ J_{mn} の実行を新たに開始する。これは、 $\Gamma_E(t_c)$ で最も遅くに実行したジョブ J_{kl} をジョブ J_{mn} がプリエンブトすることになるためである。それに対し、ジョブ J_{kl} の実行を再開する場合には、プリエンブションは発生しないので、ジョブ J_{kl} のプリエンブションレベルはシステムシーリングより低くてもかまわない。

(2) スラックの管理

システムに到着したジョブには、規則 3 の AllocTime 手続きが、オフラインで予約された時間に加えて、システムのスラックを割り当てる。

AllocTime 手続きがジョブ J_{ij} に割り当てるスラックは、その実行可能な区間 $[r_{ij}, d_{ij})$ から算出する。ただし、この区間内で、ジョブ J_{ij} よりも優先度の高いジョブが実行可能な区間は除外する。また、ジョブ J_{ij} の到着前に、ジョブ J_{ij} より低い優先度のジョブによりスラックが消費された区間も同様に除外する。この結果、ジョブ J_{ij} に対してスラックを割り当て可能な場合、スラックの算出区間は $[\hat{\varepsilon}, d_{ij})$ となる。ただし、 $\hat{\varepsilon}$ は AllocTime 手続きにおけるローカル変数 ε の最終

的な値であるとする．このとき、ジョブ J_{ij} に対して、 $(d_{ij} - \varepsilon)U_S$ だけのスラックを割り当てる．

ジョブに割り当てられたスラックは、付加部分において実際に要求される時間より少ない場合がある．規則 4 は、この場合に生じるオーバランを検出するために、実行を開始したジョブに割り当てられた時間を減少させる．また、後述の資源アクセス制御のために、付加部分の実行においては予約された時間よりもスラックを先に消費させる．

一方、割り当てられた時間をすべて消費する前にジョブが終了する場合がある．そこで、規則 6 の Reclaim 手続きは、プロセッサの利用率を向上させるために 2 つの処理を行う．1 つは、終了したジョブ J_{ij} が保持する未使用の時間を直接ジョブ J_{ij}^n に割り当てることである．もう 1 つは、ジョブ J_{ij} によりスラックが消費された区間を AllocTime 手続きから特定できるようにすることである．Reclaim 手続きのローカル変数 φ を用いると、スラックが消費された区間は $[r_{ij}, \varphi)$ と表すことができる．そこで、 $\varphi > t_c$ である場合、この区間のみをスラックの算出区間から除外するために、ジョブ J_{ij} のデッドラインを φ に変更する．

4.3 資源アクセス制御

タスク τ_i の付加部分では、オンラインアルゴリズムにより、 b_i 以上の時間を消費することができる．しかし、これだけでは付加部分における資源アクセスの完全性を保証できないので、資源アクセスをオンラインで制御する．

資源アクセスを制御する手続きを図 8、図 9、図 10 に示す．このうち、Down 手続きおよび TryDown 手続きはジョブ J_{ij} が資源 Z_k を n ユニット要求する操作であり、Up 手続きは逆にジョブ J_{ij} が資源 Z_k を n ユニット解放する操作である．

Down 手続きおよび TryDown 手続きでは、資源アクセスの完全性を保証するために、確実に資源アクセスを完了できる場合を除き、資源要求を拒否する． $\Gamma_S(t)$ に属するジョブ J_{ij} が資源アクセスを完了するためには、アクセスの開始時点で、その資源の占有時間以上の時間を保持していることが必要である．ただし、時間 $R_i(t)$ に含まれる終端部分の最悪実行時間 w_i を付加部分で消費することはできない．また、スラック $S_i(t)$ は新たなジョブの到着とともに減少する可能性がある．ゆえに、 $\Gamma_S(t)$ に属すジョブ J_{ij} が付加部分で確実に消費可能な時間は $R_i(t) - S_i(t) - w_i$ となる．そこで、この値が要求された資源の占有時間よりも大きい場合に資源の獲得を許可する．また、資源の獲得に成功するためには、割り当てられた時間に

Procedure Down(J_{ij}, Z_k, n):

```

 $\xi_i(t_c) = R_i(t_c) - S_i(t_c) - w_i;$ 
if  $J_{ij} \notin \Gamma_S(t_c)$  or  $\xi_i(t_c) \geq \Delta_k(\tau_i)$  then
  ジョブ  $J_{ij}$  は資源  $Z_k$  を  $n$  ユニット獲得;
else
  ジョブ  $J_{ij}$  は付加部分を中断し、終端部分を開始;
endif

```

図 8 Down 手続きの疑似コード

Fig. 8 Procedure Down in pseudo-code.

Procedure TryDown(J_{ij}, Z_k, n):

```

 $\xi_i(t_c) = R_i(t_c) - S_i(t_c) - w_i;$ 
if  $J_{ij} \notin \Gamma_S(t_c)$  or  $\xi_i(t_c) \geq \Delta_k(\tau_i)$  then
  ジョブ  $J_{ij}$  は資源  $Z_k$  を  $n$  ユニット獲得;
endif

```

図 9 TryDown 手続きの疑似コード

Fig. 9 Procedure TryDown in pseudo-code.

Procedure Up(J_{ij}, Z_k, n):

```

 $\Gamma_E(t_c)$  内で最も優先度の高いジョブを  $J_{gh}$  とする;
 $J_{ij}$  は保持する資源  $Z_k$  を  $n$  ユニット解放;
if  $J_{gh} \neq J_{ij}$  and  $\pi_g > \Pi(t_c)$  then
  ジョブ  $J_{ij}$  からジョブ  $J_{gh}$  への実行の切替え;
endif

```

図 10 Up 手続きの疑似コード

Fig. 10 Procedure Up in pseudo-code.

含まれるスラックは少ない方が望ましいことから、オンラインアルゴリズムの規則 4 は、予約された時間よりもスラックを先に消費させる．

Down 手続きと TryDown 手続きの違いは、想定する資源アクセスの性質および資源の獲得に失敗した場合の動作にある．Down 手続きは実行に不可欠な資源へのアクセスを想定し、資源の獲得に失敗したジョブの付加部分を中断する．それに対し、TryDown 手続きは補助的な資源へのアクセスを想定し、資源の獲得に失敗した場合でも実行の継続を許す．

資源を解放する Up 手続きは必ず成功する．資源の解放時には、システムシーリングが下がる場合がある．システムシーリング $\Pi(t_c)$ が最高優先度のジョブ J_{gh} のプリエンブションレベル π_g よりも低くなる時、ジョブ J_{gh} の実行に必要な資源はすべて利用可能な状態になる．そこで、このとき、ジョブ J_{gh} へ実行を切り替える．

4.4 スケジュール可能性

資源アクセスにともなうブロック時間に関して、補題 1 が成り立つ．

補題 1 SS-OP-SR アルゴリズムが生成するスケジュールにおいて、任意のタスク τ_i がブロックされる最大時間は SRP 方式における最大ブロック時間 B_i と等しい．

(証明) SS-OP-SR アルゴリズムにおけるプリエンブ

シヨンレベルは SRP 方式の基準を満たす．さらに，いかなるジョブ J_{ij} も $\pi_i > \Pi(t)$ が成立する時刻 t まで実行を開始することはない．また，すべての資源は必ず解放される．よって，Baker²⁾ より，補題 1 が成り立つ． □

提案したオンラインアルゴリズムは $U_S > 0$ である場合のみを対象とするため，補題 2 が成り立つ．

補題 2 SS-OP-SR アルゴリズムにおいて Reclaim 手続きを実行しない場合，実際に消費されるスラックのプロセッサバンド幅は U_S を超えることがない．

(証明) Reclaim 手続きを実行しない場合，AllocTime 手続きのみがジョブにスラックを割り当てる．また，システムに最初に到着したジョブに割り当てられるスラックのプロセッサバンド幅は明らかに U_S を超えない．

そこで，すでに割り当てられているスラックのプロセッサバンド幅が U_S 以下である任意の区間 $[t_1, t_2)$ において，ジョブ J_{ij} が到着した場合を考える．ただし， $t_1 \leq r_{ij} < d_{ij} \leq t_2$ であるとする．

まず，AllocTime 手続きにより $S_i(t) = 0$ となる場合，区間 $[t_1, t_2)$ において消費されるスラックの量は変化しない．

次に， $S_i(t) > 0$ となる場合をジョブ J_{ij}^n の有無により分けて考える．ジョブ J_{ij}^n が存在しない場合，区間 $[t_1, t_2)$ におけるスラックの要求量 $h(t_1, t_2)$ は，区間 $[t_1, t_2)$ においてすでに割り当てられているスラックのプロセッサバンド幅が U_S 以下であるという仮定より，

$$\begin{aligned} h(t_1, t_2) &= h(t_1, \hat{\varepsilon}) + (d_{ij} - \hat{\varepsilon})U_S \\ &\leq (\hat{\varepsilon} - t_1)U_S + (d_{ij} - \hat{\varepsilon})U_S \\ &\leq (t_2 - t_1)U_S \end{aligned} \quad (6)$$

を満たす．ただし， $\hat{\varepsilon}$ は AllocTime 手続きにおけるローカル変数 ε の最終的な値である．一方，ジョブ J_{ij}^n が存在する場合，同様に $\hat{\varepsilon}$ を用いて，

$$\begin{aligned} S_i(t) &= (d_{ij} - \hat{\varepsilon})U_S \\ &\leq \left(d_{ij} - \left(d_{ij}^n - \frac{S_i^n(t)}{U_S} \right) \right) U_S \\ &\leq S_i^n(t) \end{aligned} \quad (7)$$

であるから，区間 $[t_1, t_2)$ において消費されるスラックの量は変化しない．

以上より，つねに

$$h(t_1, t_2) \leq (t_2 - t_1)U_S \quad (8)$$

が成り立つので，区間 $[t_1, t_2)$ において消費されるスラックのプロセッサバンド幅は U_S を超えない． □

補題 1 および補題 2 を利用して，スケジュール可能性を定理 1 に示す．

定理 1 $U_S > 0$ のとき，SS-OP-SR アルゴリズムによりスケジュール可能である．

(証明) $i < j$ ならば $\pi_i \geq \pi_j$ とする．このとき補題 1 および補題 2 から，Reclaim 手続きを実行しない場合には，任意の区間 $[t_1, t_2)$ におけるプロセッサ要求量に関して，

$$\begin{aligned} \forall i, 1 \leq i \leq L, \\ \sum_{k=1}^i \left(1 + \left\lfloor \frac{t_2 - t_1 - D_k}{T_k} \right\rfloor \right) (m_k + b_k + w_k) \\ + \left(1 + \left\lfloor \frac{t_2 - t_1 - D_i}{T_i} \right\rfloor \right) B_i + (t_2 - t_1)U_S \\ \leq t_2 - t_1 \quad (9) \end{aligned}$$

が成り立つ．

ここで，Reclaim 手続きによる影響を考える．ある時刻 t_f において終了したジョブ J_{ij} に関して，Reclaim 手続きを実行する前は $R_i(t_f) = R$ ， $S_i(t_f) = S$ ， $d_{ij} = d$ であったとする．このとき，区間 $[d - S/U_S, d)$ に存在するスラックが未消費であったと見なすことができる．よって， $R = S$ である場合には，Reclaim 手続きを実行しても式 (9) が成り立つ．また，表 1 における $R_i(t)$ および $S_i(t)$ の定義より， $R < S$ であることはない．

$R > S$ である場合，Reclaim 手続き以降に実行されるジョブは，区間 $[t_f, d)$ において最大で $R - S$ の時間を余分にスラックとして消費する可能性がある．しかし， $R > S$ が成り立つためには，ジョブ J_{ij} の終了以前に，予約した時間をすべて消費せずに終了したジョブが 1 つ以上存在し，その未消費の時間の総和は $R - S$ 以上であるはずである．よって，Reclaim 手続きを実行した場合にも式 (9) が成り立つ．

ゆえに， $U_S > 0$ のとき，任意の区間において消費される時間の総和はその区間の長さを超えることがないので，スケジュール可能である． □

以上より，SS-OP-SR アルゴリズムを用いたシステムのスケジュール可能性は，スラックのプロセッサバンド幅 U_S が 0 より大きいことを確認することで判断可能である．

4.5 実行例

表 2 に示すタスクセットを用いて，SS-OP-SR アルゴリズムの動作例を示す．ただし，すべてのタスクはシステムに 1 ユニット存在する資源 Z_1 を共有するとする．また，資源アクセスは付加部分の最後のみで行われ，その占有時間は 2 であるとする．すなわち，ジョブ J_{ij} は付加部分を $o_{ij} - 2$ だけ実行した時点で資源 Z_1 を要求する．さらに，タスク τ_1, τ_3 は資源要求に TryDown 手続きを使用し，タスク τ_2 は Down

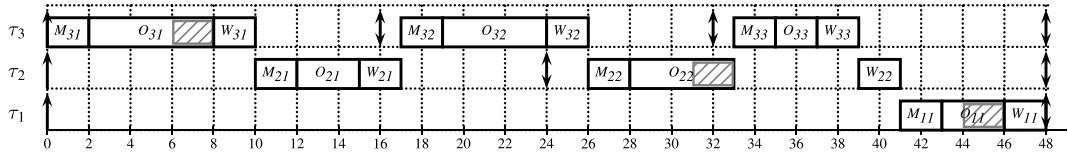


図 11 SS-OP-SR アルゴリズムによる実行例
 Fig. 11 An example schedule created by the SS-OP-SR algorithm.

表 2 タスクセット
 Table 2 Task set.

τ_i	m_i	b_i	w_i	T_i	D_i	π_i	r_{i1}	o_{ij}
τ_1	2	2	2	48	48	1	0	3
τ_2	2	2	2	24	24	2	0	5
τ_3	2	2	2	16	16	3	0	6

表 3 タスクの実行に割り当てられた時間とスラックの残量
 Table 3 Remaining time and slack allocated to task execution.

t_c	$R_1(t_c)$	$S_1(t_c)$	$R_2(t_c)$	$S_2(t_c)$	$R_3(t_c)$	$S_3(t_c)$
0	12	6	8	2	10	4
6	12	6	8	2	4	0
10	12	6	8	2	0	0
15	12	6	3	0	0	0
16	10	4	2	0	8	2
17	10	4	0	0	9	3
23	10	4	0	0	3	0
24	6	0	10	4	2	0
31	6	0	5	1	0	0
32	6	0	4	0	6	0
44	4	0	0	0	0	0

手続きを使用するとする。

このとき、オフラインアルゴリズムは、SlackBw 手続きによりスラックのプロセッサバンド幅 U_S を 0.25 と算出し、表 2 のタスクセットを受諾する。

実際にオンラインアルゴリズムにより生成されるスケジュールを図 11 に示す。図中の M_{ij} , O_{ij} , W_{ij} はそれぞれジョブ J_{ij} の必須部分、付加部分、終端部分の実行を表す。また、表 3 に、スケジューリング後に各タスクが保持する時間とスラックの残量を示す。表 3 の各時刻における動作を以下に示す。

- (1) システム時刻 0 では、到着したすべてのジョブに対し、AllocTime 手続きを実行する。これにより、ジョブ J_{31} , J_{21} , J_{11} に、それぞれ区間 $[0, 16)$, $[16, 24)$, $[24, 48)$ に存在するスラックを割り当てる。
- (2) システム時刻 6 では、ジョブ J_{31} が資源 Z_1 を要求する。ジョブ J_{31} が付加部分で消費可能なスラック以外の時間は 2 であり、これは資源 Z_1 の占有時間と等しいので、ジョブ J_{31} は資源を獲得する。
- (3) システム時刻 10 では、終了したジョブ J_{31} に対し、Reclaim 手続きを実行する。ただし、ジョブ J_{31}

には未消費の時間がないので他のジョブに割り当てられた時間に変更はない。

- (4) システム時刻 15 では、ジョブ J_{21} が資源 Z_1 を Down 手続きにより要求する。しかし、ジョブ J_{21} の付加部分に残されたスラック以外の時間は 1 しかないため、資源の獲得に失敗する。そこで、ジョブ J_{21} の付加部分をこの時点で中断する。
- (5) システム時刻 16 では、到着したジョブ J_{32} に対し、区間 $[24, 32)$ に存在するスラックを割り当て、ジョブ J_{11} が保持するスラックを同量だけ減少させる。
- (6) システム時刻 17 では、終了したジョブ J_{21} が保持する 1 の時間を、Reclaim 手続きによりジョブ J_{32} の保持する時間に加算する。
- (7) システム時刻 23 では、ジョブ J_{32} が資源 Z_1 の獲得に失敗する。しかし、ジョブ J_{32} は TryDown 手続きを用いたので、システム時刻 24 まで付加部分の実行を継続することができる。
- (8) システム時刻 24 では、到着したジョブ J_{22} に対し、区間 $[32, 48)$ に存在するスラックを割り当て、ジョブ J_{11} が保持するスラックを同量だけ減少させる。
- (9) システム時刻 31 では、ジョブ J_{22} が資源 Z_1 の獲得に成功する。ここで、仮にジョブ J_{22} が付加部分でスラックよりも予約された時間を先に消費した場合を考える。この場合、ジョブ J_{22} がシステム時刻 31 で保持する 5 の時間にはスラックが 3 だけ含まれるので、資源の獲得を許可するべきではない。すなわち、ジョブ J_{22} が消費可能なスラックはジョブ J_{33} の実行により減少するので、仮に資源の獲得を許可した場合には、オーバランを避けるために J_{22} の資源アクセスを中断しなければならなくなる。
- (10) システム時刻 32 では、到着したジョブ J_{33} に予約された時間を割り当てる。
- (11) システム時刻 44 では、ジョブ J_{11} が資源 Z_1 の獲得に成功する。ここで、仮にジョブ J_{11} の付加部分の実行時間 o_{11} が実際には 4 であったとする。このときに o_{11} を誤って 3 と見積もり、静的に資源 Z_1 を割り当てていたとすると、システム時刻 46 でジョブ J_{11} の資源アクセスを中断しなければならなくなる。また、アクセスを中断できない場合、ジョブ J_{11}

がデッドラインミスを起こす．それに対し，資源アクセス制御をオンラインで行う SS-OP-SR アルゴリズムでは，システム時刻 45 における資源要求を拒否するので，デッドラインミスを起こすことがない．

5. 評価

SS-OP-SR アルゴリズムの実用性を評価するために，レスポンスプロセッサ²⁷⁾ をターゲットとした RT-Frontier カーネルに本手法を実装し，資源アクセス制御に関するオーバーヘッドおよびカーネルのコードサイズを計測した．さらに，資源制約を持つ拡張インプリサスタスクを用いた実験により実時間性の検証を行った．

コンパイルには，GNU⁶⁾ のツールである gcc (バージョン 3.4.3) および binutils (バージョン 2.15) を使用し，gcc の最適化オプションには -O2 を指定した．また，レスポンスプロセッサのプロセッシングユニットの動作速度は 100 MHz に設定し，オーバーヘッドの計測には，レスポンスプロセッサが内蔵する分解能 0.05 μ s のタイマを用いた．

5.1 実用性の評価

比較対象には，実用性が高い SRP 方式を適用した Earliest Deadline First (EDF) アルゴリズム¹⁸⁾ を用いる．以降の表中では，これを EDF+SRP と表記する．

資源アクセス制御に関するオーバーヘッドを表 4 に示す．このうち，資源の解放時にプリエンブションが生じる場合には，解放を行うシステムコールの発行からプリエンブトしたジョブに実行が移るまでの時間をオーバーヘッドとし，それ以外の場合には各操作に対応するシステムコールに要する時間をオーバーヘッドとした．また，各操作のオーバーヘッドは 1,000 回ずつ計測した．その際，最悪に近い状況を実現するために，各操作の直前に命令キャッシュおよびデータキャッシュをフラッシュした．

EDF アルゴリズムに SRP 方式を適用した場合には資源の獲得に失敗することがないので，各操作のオーバーヘッドを単純に比較することはできない．そこで，1 回の資源アクセスに成功する場合に必要な最大オーバーヘッドの総和を比較する．表 4 より，2 つの手法間で資源を獲得する際のオーバーヘッドの差が最も大きいのは，SS-OP-SR アルゴリズムで Down 手続きを用いる場合である．また，資源の解放時のオーバーヘッドの差はプリエンブションが生じる場合に最も大きい．したがって，資源アクセスごとの最大オーバーヘッドの増加は $(26.20 + 67.85) - (21.35 + 66.40) = 6.30 \mu$ s

表 4 資源アクセス制御に関するオーバーヘッド
Table 4 Overheads of resource access control.

手法	操作	最大値
SS-OP-SR	TryDown (成功)	24.80
	TryDown (失敗)	19.80
	Down (成功)	26.20
	Down (失敗)	38.25
	Up (プリエンブションなし)	21.80
	Up (プリエンブションあり)	67.85
EDF+SRP	獲得 (成功)	21.35
	解放 (プリエンブションなし)	21.95
	解放 (プリエンブションあり)	66.40

(μ s)

表 5 RT-Frontier カーネルのコードサイズ
Table 5 Sizes of RT-Frontier kernel.

手法	text	data	bss	合計
SS-OP-SR	26,640	424	264	27,328
SS-OP	25,968	416	264	26,648
EDF+SRP	24,604	424	256	25,284
EDF	24,068	416	256	24,740

(byte)

(約 7%) にとどまることが分かる．

次に，カーネルのコードサイズを表 5 に示す．コードサイズに関しては，増加量を相対的に評価するために，SS-OP アルゴリズムと資源アクセス制御を行わない EDF アルゴリズムを実装したカーネルに対する計測も行った．

表 5 より，SS-OP-SR アルゴリズムの SS-OP アルゴリズムに対するコードサイズの増加量は $27,328 - 26,648 = 680$ バイト (約 2.6%) である．これは，EDF アルゴリズムに SRP 方式を追加したときの増加量である $25,284 - 24,740 = 544$ バイト (約 2.2%) に匹敵する．コードサイズの増加量が少なく抑えられた理由は，ジョブに割り当てた時間の管理と付加部分の中断に関する処理が SS-OP-SR アルゴリズムと SS-OP アルゴリズムで共通するためである．また，SS-OP-SR アルゴリズムによる増加量が SRP 方式による増加量よりも大きいのは，SS-OP-SR アルゴリズムが 2 通りの資源要求手続きを持つことおよび資源要求を拒否する場合があることによる．

5.2 実時間性の検証

実時間性を確認するために，Nyström らにより示されたセンサデータを処理するシステム¹⁹⁾ を仮想した検証実験を行った．

5.2.1 実験方法

システムにはセンサからデータを読み出すタスク，読み出されたデータから二次的な情報を抽出するタスク，さらにこの抽出された情報を利用するアプリケーション

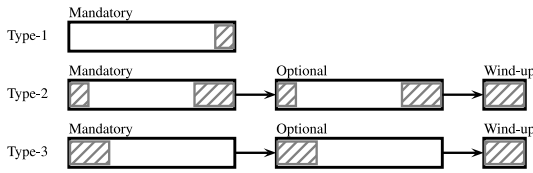


図 12 タスクタイプの構造
Fig. 12 Structures of task types.

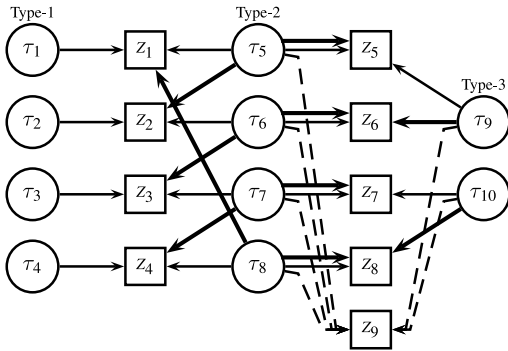


図 13 タスクの資源制約
Fig. 13 Resource constraints of tasks.

ンタスクが存在する．本論文では，これらのタスクタイプを順に Type-1, Type-2, Type-3 とする．図 12 にタスクタイプの構造を示す．各部分の最初または最後にある斜線は資源の占有を表す．また，SS-OP-SR アルゴリズムを用いる場合，資源要求はすべて Down 手続きを用いて行う．

実験では，タスクの数を 10，資源の数を 9 とした．図 13 にタスクの資源制約を示す．タスクから資源へ向かう細い実線の矢印は必須部分におけるアクセスを表す．同様に，太い実線の矢印および破線の矢印はそれぞれ付加部分および終端部分におけるアクセスを表す．同一部分において，2 つの資源 Z_i, Z_j にアクセスする場合， $i < j$ であれば，資源 Z_i をアクセスした後に資源 Z_j をアクセスする．また，すべての資源は 1 ユニットずつ存在し，いかなる資源アクセスも別の資源アクセスを内包することはない．さらに，すべての資源アクセスは中断できないとする．

資源の占有時間およびタスクの時間属性に関するパラメータを表 6 および表 7 に示す．このうち，範囲により表したものは，その範囲の一様分布から値を選択したことを意味する．また，表 7 における必須部分と終端部分の最悪実行時間はそれぞれの実際の実行時間と等しいとする．さらに，過負荷時に生じるオーバランの影響を評価するために，必須部分の最悪実行時間と付加部分の実行時間をそれぞれパラメータ α と β を用いて表した．実験に用いたパラメータ α, β と

表 6 資源の占有時間
Table 6 Access duration of resources.

占有時間	Z_1, Z_2, Z_3, Z_4	Z_5, Z_6, Z_7, Z_8	Z_9
	[500, 1000]	[1000, 2000]	1000

(μs)

表 7 タスクの時間属性
Table 7 Time attributes of tasks.

	$\tau_1, \tau_2, \tau_3, \tau_4$ (Type-1)	$\tau_5, \tau_6, \tau_7, \tau_8$ (Type-2)	τ_9, τ_{10} (Type-3)
T_i	[9000, 11000]	[100000, 200000]	
D_i	T_i		
m_i	$0.1T_i$	αT_i	
w_i	0	1000	
r_{i1}	0		
o_{ij}	0	[[$(\beta - 0.01)T_i, (\beta + 0.01)T_i$]]	

(μs)

表 8 パラメータ α, β とシステム負荷の最低値 u_M ，期待値 u_E の関係

Table 8 Parameters α and β vs. minimal and expected system workloads u_M and u_E .

α	β	u_M	u_E
0.05	0.04	0.74	0.98
	0.05		1.04
	0.06		1.10
	0.07		1.16
0.08	0.04	0.92	1.16
	0.05		1.22
	0.06		1.28
	0.07		1.34

システム負荷の最低値 u_M ，期待値 u_E の関係を表 8 に示す．

比較対象には，SS-OP アルゴリズムを変更して用いた．変更した SS-OP アルゴリズムは，まず b_i を 0 として扱う点が SS-OP-SR アルゴリズムと異なる．また，資源アクセス制御には SRP 方式をそのまま使用し，資源アクセス中にオーバランが生じた場合でも，そのジョブがアクセスを完了するまで実行を継続させることにした．これは，実時間オペレーティングシステム RT-Frontier においてロックを用いた排他制御を行うためである．すなわち，占有されていたハードウェア資源を他のジョブに対して利用可能な状態にするためには，資源を占有していたジョブがロックを解放する必要がある．また，ロックを解放するためには，実際にハードウェアがリクエストを完了するのを待たなければならない場合がある．そのため，この場合にはオーバランしたジョブの実行を継続させることが適当である．以降では，この変更した SS-OP アルゴリズムを従来のものと区別するために MOD-SS-OP アルゴリズムと呼ぶ．

表 9 MOD-SS-OP アルゴリズムを用いた場合の資源アクセス制御に関するオーバーヘッド

Table 9 Overheads of resource access control under MOD-SS-OP algorithm.

手法	操作	最大値
MOD-SS-OP	獲得 (成功)	21.20
	解放 (プリエンブションなし)	21.70
	解放 (プリエンブションあり)	68.55

(μ s)

資源アクセス制御に必要なオーバーヘッドは、タスクセットを生成した後に各部分の最悪実行時間に加算した。ここで、MOD-SS-OP アルゴリズムを用いた場合のオーバーヘッドは、事前に表 4 と同様に計測を行い、表 9 に示す結果を得た。表 9 より、MOD-SS-OP アルゴリズムにおける資源アクセス制御のオーバーヘッドは、獲得に成功し、解放時にプリエンブションが生じる場合に最大になることが分かる。また、表 4 より、SS-OP-SR アルゴリズムにおいても、この場合にオーバーヘッドが最大になることが分かる。そこで、この場合のオーバーヘッドをそれぞれ資源アクセスの回数分だけ加算した。

実験では、表 8 に示した 8 つの場合ごとに、100 の異なるタスクセットをそれぞれ 10 秒間実行し、デッドラインミスを起こしたタスクセットの割合を計測した。ただし、デッドラインミスが生じた場合、その時点でタスクセットの実行を中断した。さらに、デッドラインミスの原因となるオーバーランが生じる条件を推考するために、オーバーランの平均頻度およびオーバーラン状態にあった時間の割合を計測した。また、SS-OP-SR アルゴリズムが必要以上に付加部分の実行を制限していないことを確認するために付加部分の平均実行割合を計測した。ただし、ジョブ J_{ij} が付加部分を \hat{o}_{ij} だけ実行した場合、付加部分の実行割合は \hat{o}_{ij}/o_{ij} になるとする。また、平均実行割合の算出においては、実験中に実行を終了しなかったジョブは考慮しないことにする。

5.2.2 実験結果

実験に用いたタスクセットのうち、オフラインアルゴリズムにより受諾されなかったタスクセットの割合を表 10 に示す。これより、MOD-SS-OP アルゴリズムを用いた場合、すべてのタスクセットを受諾したことが分かる。それに対し、SS-OP-SR アルゴリズムでは u_M が 0.92 の場合に、9%から 12%のタスクセットを受諾することができなかったことが分かる。これは、SS-OP-SR アルゴリズムのみが付加部分に対して資源の最大占有時間を予約することが原因である。

実際に実験においてデッドラインミスを起こしたタ

表 10 受諾されなかったタスクセットの割合

Table 10 Ratios of task sets that were not accepted.

u_M	u_E	MOD-SS-OP	SS-OP-SR
0.74	0.98	0	0
	1.04	0	0
	1.10	0	0
	1.16	0	0
0.92	1.16	0	0.12
	1.22	0	0.09
	1.28	0	0.11
	1.34	0	0.11

表 11 デッドラインミスを起こしたタスクセットの割合

Table 11 Ratios of task sets that caused a deadline miss.

u_M	u_E	MOD-SS-OP	SS-OP-SR
0.74	0.98	0	0
	1.04	0	0
	1.10	0.12	0
	1.16	0.13	0
0.92	1.16	0.54	0
	1.22	0.48	0
	1.28	0.42	0
	1.34	0.38	0

スクセットの割合を表 11 に示す。MOD-SS-OP アルゴリズムを用いた実験ではデッドラインミスを生じた場合が存在するのに対し、SS-OP-SR アルゴリズムを用いた実験ではすべての場合にデッドラインを満たすことが確認できた。MOD-SS-OP アルゴリズムのデッドラインミスの原因は、いずれの場合にもオーバーランであると考えられる。まず、 u_M が 0.74 である場合、MOD-SS-OP アルゴリズムを用いた実験では、システム負荷の期待値 u_E が 0.98 と 1.04 の場合にまったくデッドラインミスが生じていないのに対し、 u_E が 1.10 と 1.16 の場合には 10%以上のタスクセットにおいてデッドラインミスが生じている。これは、システムが過負荷になるにつれて多くのオーバーランを生じるようになったためであると考えられる。それに対し、 u_M が 0.92 である場合には、すべての u_E の値に対してデッドラインミスを起こしたタスクセットが存在している。また、その割合の変化には u_M が 0.74 の場合と逆の傾向が見られる。すなわち、 u_M が 0.92 の場合には、 u_E が小さい場合に多くのデッドラインミスが生じている。これは、 u_M の値が大きい場合、 u_E の値にかかわらず多くの付加部分が中断されているためであると考えられる。定常的な過負荷状態にシステムがある場合、実行時間の長い付加部分における資源アクセスの方が中断される可能性が低い。そのため、 u_E の値が大きい方がオーバーランによるデッドラインミスも生じにくいと考えられる。

表 10 と表 11 を総合すると、MOD-SS-OP アルゴ

表 12 オーバランの平均頻度
Table 12 Average overrun rates.

u_M	u_E	MOD-SS-OP	SS-OP-SR
0.74	0.98	0.19	0
	1.04	43.99	0
	1.10	77.76	0
	1.16	95.96	0
0.92	1.16	190.53	0
	1.22	174.40	0
	1.28	166.43	0
	1.34	166.84	0

(times/10s)

リズムにおいてデッドラインミスを起こしたタスクセットの割合は、SS-OP-SR アルゴリズムにおいて受諾されなかったタスクセットの割合よりも大きい。したがって、実時間性を満たしたスケジューリングが可能であったタスクセットの割合は SS-OP-SR の方が高い。ゆえに、SS-OP-SR アルゴリズムの方が資源制約を持つタスクセットの実時間性を満たす能力が高いといえる。

次に、オーバランの平均頻度を表 12 に示す。表 12 より、オーバランは MOD-SS-OP アルゴリズムを用いた実験においてのみ生じていることが分かる。また、オーバランの平均頻度の変化は表 11 と同様の傾向を示している。すなわち、オーバランの平均頻度は、 u_M が 0.74 の場合、システム負荷の期待値 u_E が大きい場合に高くなっている。一方、 u_M が 0.92 の場合、オーバランの平均頻度は、 u_E 大きい場合に低くなる傾向にある。これは、表 11 に対する考察でも述べたように、 u_M が 0.74 の場合には u_E が大きいほど中断される付加部分が多いためであり、 u_M が 0.92 の場合には u_E の値が大きいほど資源アクセスが中断される可能性が低いことによると考えられる。

表 11 と表 12 を総合すると、 u_M が 0.74、 u_E が 1.04 の場合にはオーバランが生じているのにデッドラインミスは生じていないことが分かる。これは、実験にあたって、資源アクセス制御に必要なオーバヘッドを最悪の場合を基に予約したためであると考えられる。すなわち、実際の資源アクセス制御を最悪の場合よりも小さいオーバヘッドで完了した場合、未消費の時間をオーバランしたジョブの実行に使用することができるようになるため、デッドラインミスを起こすことがなかったと考えられる。

図 14 に、MOD-SS-OP アルゴリズムを用いた実験において、 u_M が 0.74、 u_E が 1.04 以上の場合にオーバラン状態にあった時間の割合を示す。 u_M が 0.74 の場合を対象としたのは、デッドラインミスが生じる場

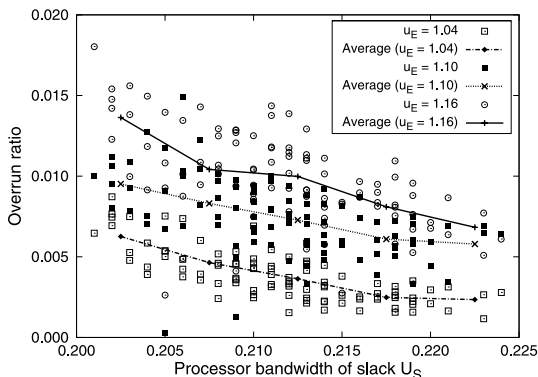


図 14 MOD-SS-OP アルゴリズムを用いた実験においてオーバラン状態にあった時間の割合 ($u_M = 0.74$)

Fig. 14 Ratios of the length of overrun to the length of the experiment under MOD-SS-OP algorithm ($u_M = 0.74$).

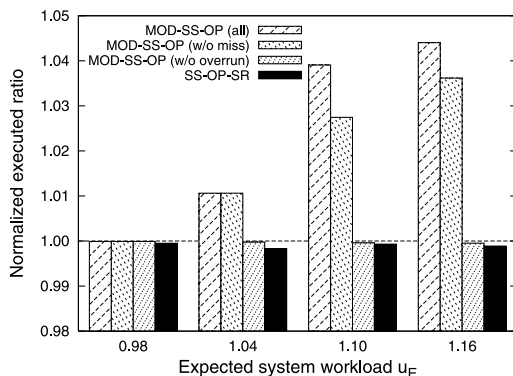


図 15 資源制約がない場合により正規化した付加部分の平均実行割合 ($u_M = 0.74$)

Fig. 15 Average ratios of executed optional parts normalized by the ratios obtained in experiments without any resource constraints ($u_M = 0.74$).

合と生じない場合を容易に比較することができるためである。図 14 から、 u_E が同一ならば、スラックのプロセッサバンド幅 U_S が小さい場合にオーバラン状態にあった時間の平均割合が高いことが分かる。また、スラックのプロセッサバンド幅 U_S が同一ならば、 u_E が大きい場合、すなわち付加部分の実行時間が長い場合にオーバラン状態にあった時間の平均割合が高いことが分かる。これらの結果は表 11 および表 12 に対する考察を支持する。すなわち、付加部分の中断頻度が上昇するとオーバランの頻度が上昇し、その結果としてオーバラン状態にあった時間の割合が高くなり、デッドラインミスの割合が増加したと考えられる。

図 15 に、同じく u_M が 0.74 である実験において計測した付加部分の平均実行割合を、資源制約がない場合により正規化して示す。資源制約がない場合に

より正規化したのは、MOD-SS-OP アルゴリズムと SS-OP-SR アルゴリズムが同一のスケジュールを生成することが理由である．平均実行割合は 3 種類の異なる方針に基づいて算出した．まず、図中に SS-OP-SR および MOD-SS-OP (all) として示した値は、実験に使用したすべてのタスクセットを対象として算出した平均実行割合である．すなわち、MOD-SS-OP (all) にはデッドラインミスを生じたスケジュールにおける付加部分の実行割合が含まれる．次に、MOD-SS-OP (w/o miss) により示した値はデッドラインミスを起こさなかったタスクセットのみを対象として算出した平均実行割合である．したがって、このとき、オーバランによる実行も、デッドラインミスが生じない限り、有効であると考えられる．最後に、MOD-SS-OP (w/o overrun) により示した値はデッドラインミスを起こさなかったタスクセットのみを対象とし、オーバラン状態において付加部分の実行に使用された時間を除いて算出した平均実行割合である．この場合、スケジューラにより割り当てられた時間のみを使用して実行した付加部分のみを有効な実行と考える．

図 15 より、 u_E が 0.98 のとき、すべての平均実行割合がほぼ 1 になっている．これは、表 12 より、MOD-SS-OP アルゴリズムにおいてもほとんどオーバランが生じていないためであると考えられる．それに対し、 u_E が 1.04 以上のとき、MOD-SS-OP (all) と MOD-SS-OP (w/o miss) の値が 1 を超えている．これは、MOD-SS-OP (w/o miss) においても、スケジューラが割り当てた時間よりも多くの時間を付加部分の実行に使用したことを意味する．前述のように、これが可能であるのは、本実験において資源アクセス制御のオーバヘッドを最悪の場合を基に予約したためであると考えられる．すなわち、実際の資源アクセス制御が予約した時間よりも短い時間内に完了した場合、この未消費の時間をオーバランした付加部分の実行に使用すればデッドラインミスを起こすことがない．一方、MOD-SS-OP (w/o overrun) の値が 1 を下回っているのは、資源制約によりジョブに割り当て可能なスラックが減少したためであると考えられる．また、オーバラン状態における実行を除外して算出した MOD-SS-OP (w/o overrun) の値が 1 を下回ったことから、MOD-SS-OP (all) の値が 1 を超えていた第 1 の理由はオーバランであったと考えられる．

SS-OP-SR アルゴリズムと MOD-SS-OP アルゴリズムを比較すると、図 15 において SS-OP-SR はいずれの場合にも MOD-SS-OP (w/o overrun) を下回っている．これは、Down 手続きにより付加部分が中断さ

れたことによると考えられる．すなわち、SS-OP-SR アルゴリズムを用いた場合、割り当てられたスラックをすべて消費せずに終了するジョブが存在する．また、このジョブが終了した時点で他に実行可能なジョブが存在しなければ、その未消費のスラックはシステムをアイドル状態にすることで消費されてしまう．したがって、タスクセットが MOD-SS-OP アルゴリズムを用いてもスケジュール可能である場合、MOD-SS-OP アルゴリズムの方が SS-OP-SR アルゴリズムより高いパフォーマンスを達成可能であるといえる．ただし、MOD-SS-OP アルゴリズムでは、オーバランによるスケジュールへの影響を制御することができない．また、SS-OP-SR アルゴリズムの正規化した平均実行割合はつねに 0.99 を超えており、SS-OP-SR アルゴリズムが必要以上に付加部分の実行を制限しているとはいえない．したがって、確実に実時間性を満たす必要があるシステムでは SS-OP-SR アルゴリズムの方が有用であるといえる．

以上の結果より、資源制約により生じるオーバランを回避することで実時間性を保証する SS-OP-SR アルゴリズムの有効性を確認することができた．

6. む す び

本論文では、実時間システムにおいて、拡張インプリサイスタスクが共有資源へアクセス可能な SS-OP-SR アルゴリズムを提案した．本アルゴリズムは、資源制約を持つ拡張インプリサイスタスクを用いた実験において、付加部分の中断が必要な過負荷状態に陥った場合にも、デッドラインミスを 0% に抑えることができた．また、その資源アクセス制御による最悪時のオーバヘッドは、EDF アルゴリズムに SRP 方式を適用した場合と比較して、約 7% の増加にとどまることを示した．さらに、拡張インプリサイスタスクの実行機構を持つ RT-Frontier カーネルに対するコードサイズの増加は約 2.6% にとどまることを示した．

本研究で提案した SS-OP-SR アルゴリズムを用いることにより、実行時間が変動する場合にもプロセッサの利用率を低下させることなく、資源制約を持つ処理の時間制約を満たすことが可能になる．また、本アルゴリズムは実行時間の予測が不正確な実時間システムにおいても有用であると考えられる．そのため、環境に不確定要素を多く含む動的な実時間システムを構築する際に特に有効であると考えられる．

今後は、より広範囲のアプリケーションを対象とするために、周期インプリサイスタスクと非周期インプリサイスタスクの両方による資源共有を可能にする検

討を行う。また、インプリサイスタスクが生成する結果の品質を予測可能にすることで、システム設計者が結果の品質を制御可能にする。

謝辞 本研究は科学技術振興機構 CREST の支援による。また、本研究の一部は文部科学省の科学技術振興調整費の支援による。

参 考 文 献

- 1) Aydin, H., Melhem, R., Mossé, D. and Mejia-Alvarez, P.: Optimal Reward-Based Scheduling for Periodic Real-Time Tasks, *IEEE Trans. Comput.*, Vol.50, No.2, pp.111–130 (2001).
- 2) Baker, T.P.: Stack-Based Scheduling of Realtime Processes, *Real-Time Systems*, Vol.3, No.1, pp.67–99 (1991).
- 3) Balbastre, P., Ripoll, I. and Crespo, A.: Schedulability Analysis of Window-Constrained Execution Time Tasks for Real-Time Control, *Proc. 14th Euromicro Conference on Real-Time Systems*, pp.11–18 (2002).
- 4) Baruah, S. and Hickey, M.: Competitive On-Line Scheduling of Imprecise Computations, *IEEE Trans. Comput.*, Vol.47, No.9, pp.1027–1032 (1998).
- 5) Chung, J.-Y., Liu, J.W.S. and Lin, K.-J.: Scheduling Periodic Jobs That Allow Imprecise Results, *IEEE Trans. Comput.*, Vol.39, No.9, pp.1156–1174 (1990).
- 6) GNU Project. <http://www.gnu.org>
- 7) Han, S., Park, M. and Cho, Y.: On the Real-Time Job Management in Dynamic Priority Scheduling under the Stack Resource Policy, *Proc. ISCA 18th International Conference*, pp.308–311 (2003).
- 8) Hansen, E.A. and Zilberstein, S.: Monitoring and Control of Anytime Algorithms: A Dynamic Programming Approach, *Artificial Intelligence*, Vol.126, pp.139–157 (2001).
- 9) Horsch, M.C. and Poole, D.: An Anytime Algorithm for Decision Making under Uncertainty, *Proc. 14th Conference on Uncertainty in Artificial Intelligence*, pp.246–255 (1998).
- 10) Huang, J., Stankovic, J.A., Ramamritham, K. and Towsley, D.: On Using Priority Inheritance in Real-Time Databases, *Real-Time Systems*, Vol.4, No.3, pp.243–268 (1992).
- 11) Hull, D., Feng, W. and Liu, J.-S.: Enhancing the Performance and Dependability of Real-Time Systems, *Proc. IEEE International Computer Performance and Dependability Symposium*, pp.174–182 (1995).
- 12) Humphrey, M. and Stankovic, J.: Predictable Threads for Dynamic, Hard Real-Time Environments, *IEEE Trans. Parallel and Distributed Systems*, Vol.10, No.3, pp.281–295 (1999).
- 13) Kobayashi, H. and Yamasaki, N.: An Integrated Approach for Implementing Imprecise Computations, *IEICE Trans. Inf. Syst.*, Vol.E86-D, No.10, pp.2040–2048 (2003).
- 14) Kobayashi, H. and Yamasaki, N.: RT-Frontier: A Real-Time Operating System for Practical Imprecise Computation, *Proc. 10th IEEE Real-Time and Embedded Technology and Applications Symposium*, pp.255–264 (2004).
- 15) Kopetz, H., Damm, A., Koza, C., Mulazzani, M., Schwabl, W., Senft, C. and Zainlinger, R.: Distributed Fault-Tolerant Real-Time Systems: The MARS Approach, *IEEE Micro*, Vol.9, No.1, pp.25–40 (1989).
- 16) Kuo, T.-W., Liang, M.-C. and Shu, L.: Abort-Oriented Concurrency Control for Real-Time Databases, *IEEE Trans. Comput.*, Vol.50, No.7, pp.660–673 (2001).
- 17) Lin, K., Natarajan, S. and Liu, J.-S.: Imprecise Results: Utilizing Partial Computations in Real-Time Systems, *Proc. IEEE 8th Real-Time Systems Symposium*, pp.210–217 (1987).
- 18) Liu, C.L. and Layland, J.W.: Scheduling Algorithms for Multiprogramming in a Hard-Real-Time Environment, *Journal of the Association for Computing Machinery*, Vol.20, No.1, pp.46–61 (1973).
- 19) Nyström, D., Tešanović, A., Norström, C., Hansson, J. and Bänkestad, N.-E.: Data Management Issues in Vehicle Control Systems: A Case Study, *Proc. 14th Euromicro Conference on Real-Time Systems*, pp.249–256 (2002).
- 20) Punnekkat, S., Burns, A. and Davis, R.: Analysis of Checkpointing for Real-Time Systems, *Real-Time Systems*, Vol.20, pp.83–102 (2001).
- 21) Shih, W.-K. and Liu, J.W.S.: On-Line Scheduling of Imprecise Computations to Minimize Error, *SIAM Journal on Computing*, Vol.25, No.5, pp.1105–1121 (1996).
- 22) Shu, L., Young, M. and Rajkumar, R.: An Abort Ceiling Protocol for Controlling Priority Inversion, Technical Report SERC-TR-157-P, Purdue University (1994).
- 23) Stankovic, J.A., Spuri, M., Ramamritham, K. and Buttazzo, G.C.: *Deadline Scheduling for Real-Time Systems*, Kluwer Academic Publishers (1998).
- 24) Wegener, J. and Mueller, F.: A Comparison of Static Analysis and Evolutionary Testing for the Verification of Timing Constraints, *Real-Time Systems*, Vol.21, pp.241–268 (2001).

- 25) Zhang, Y. and Chakrabarty, K.: Dynamic Adaptation for Fault Tolerance and Power Management in Embedded Real-Time Systems, *ACM Trans. Embedded Computing Systems*, Vol.3, No.2, pp.336–360 (2004).
- 26) Zheng, Q. and Shin, K.G.: On the Ability of Establishing Real-Time Channels in Point-to-Point Packet-Switched Networks, *IEEE Trans. Comm.*, Vol.42, No.2/3/4, pp.1096–1105 (1994).
- 27) 山崎信行：並列分散リアルタイム制御用レスポンスプロセッサ，日本ロボット学会誌，Vol.19, No.3, pp.352–361 (2001).

(平成 17 年 4 月 28 日受付)

(平成 17 年 9 月 19 日採録)



小林 秀典 (学生会員)

1977 年生．2000 年慶應義塾大学理工学部情報工学科卒業．2002 年同大学大学院理工学研究科開放環境科学専攻修士課程修了．現在，同博士課程に在籍．リアルタイムシステム，オペレーティングシステム等の研究に従事．

ム，オペレーティングシステム等の研究に従事．



山崎 信行 (正会員)

1966 年生．1991 年慶應義塾大学理工学部物理学科卒業．1996 年同大学大学院理工学研究科計算機科学専攻博士課程修了．博士 (工学)．同年電子技術総合研究所入所．1998 年 10 月慶應義塾大学理工学部情報工学科助手．同専任講師を経て 2004 年 4 月より同助教授．現在，産業技術総合研究所特別研究員を兼務．並列分散処理，リアルタイムシステム，システム LSI，ロボティクス等の研究に従事．